ПРИЛОЖЕНИЕ 8

Рекомендуемое

Круглая поворотная заслонка с плоским крылом без упоров

График зависимости коэф. сопротивления $\zeta_р$ от угла поворота заслонки α

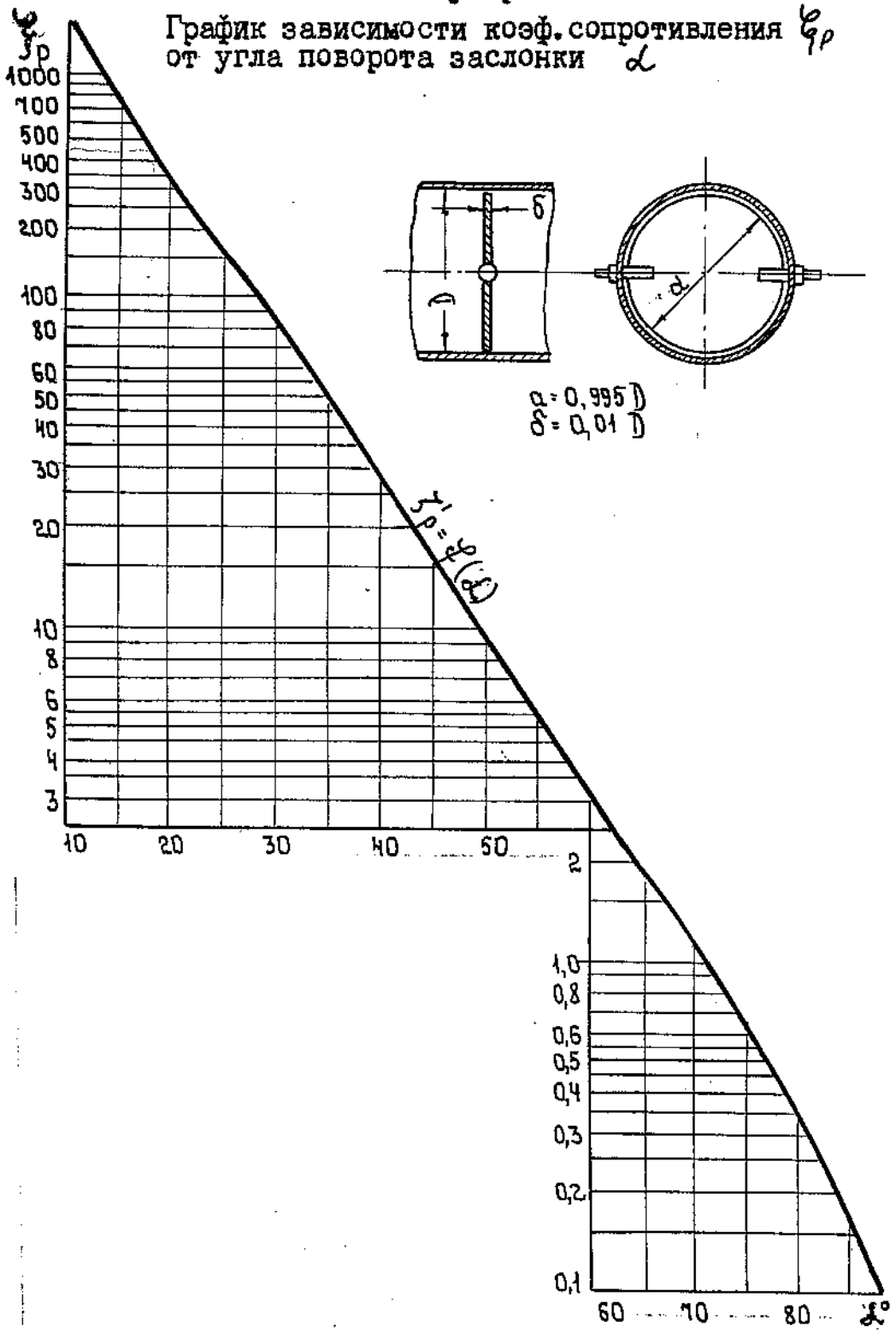

Рис. 8.I

Продолжение приложения 8

Круглая поворотная заслонка с плоским крылом без упоров

График зависимости удельной пропускной способности C от угла поворота для различных диаметров трубопроводов

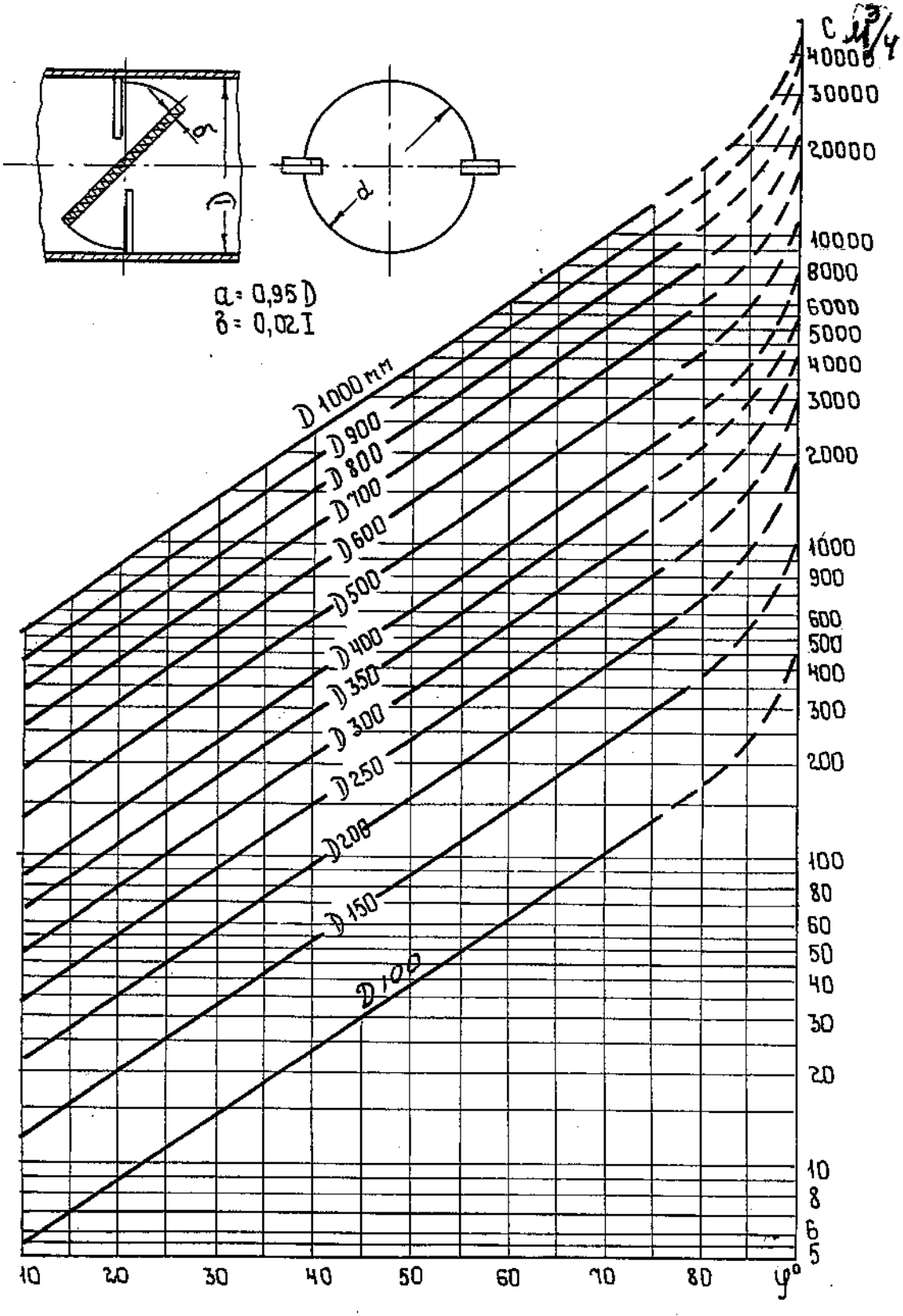

Рис. 8.2

Продолжение приложения 8

Круглая поворотная заслонка с плоским крылом с упорами

График зависимости коэффициента сопротивления $\zeta_{тр}$ от угла поворота заслонки α

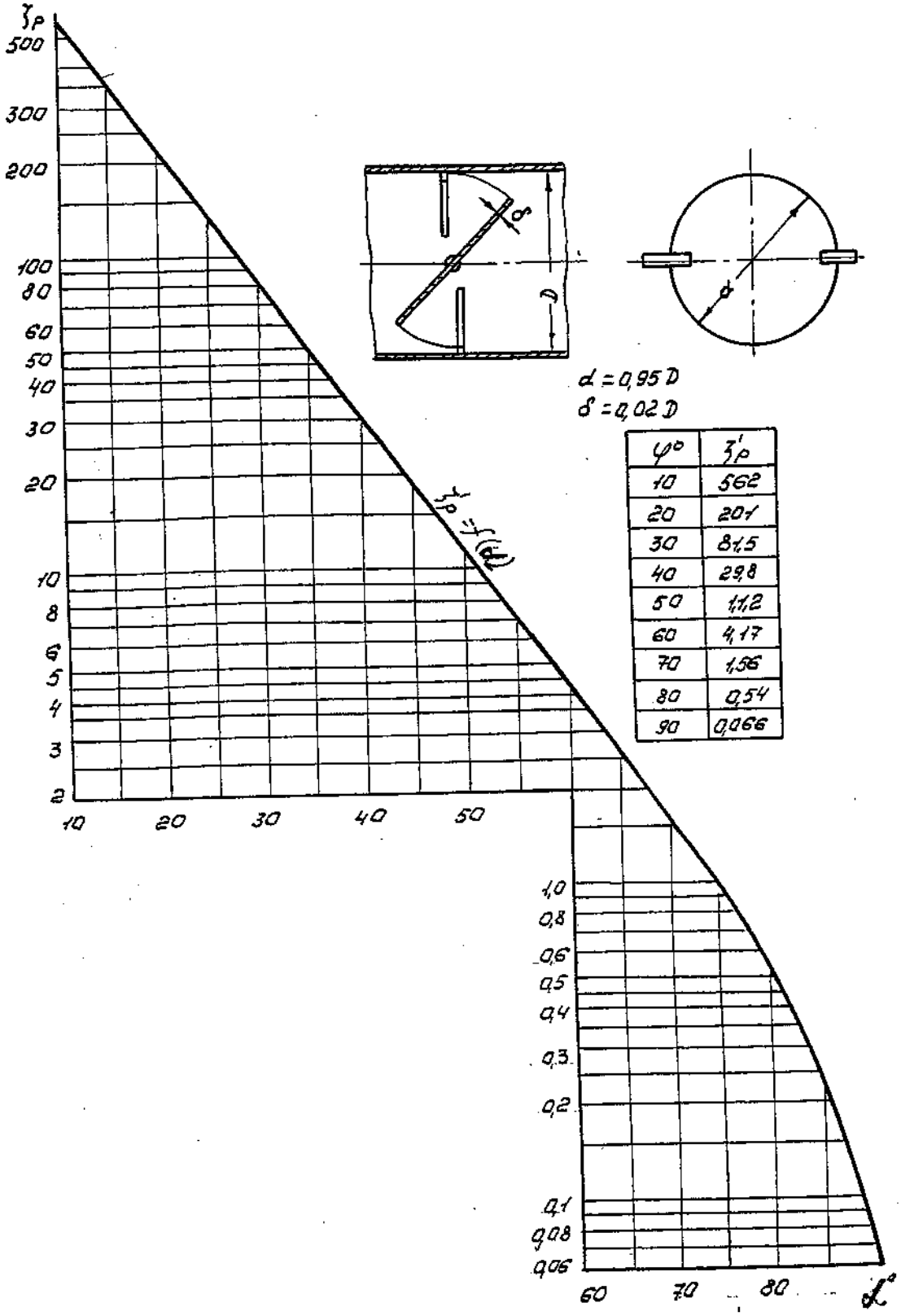

φ°	ζ'р
10	562
20	207
30	81,5
40	29,8
50	11,2
60	4,17
70	1,56
80	0,54
90	0,066

Рис. 8.3

Продолжение приложения 8

Круглая поворотная заслонка с плоским крылом с упорами

График зависимости удельной пропускной способности C от угла поворота для различных диаметров трубопроводов

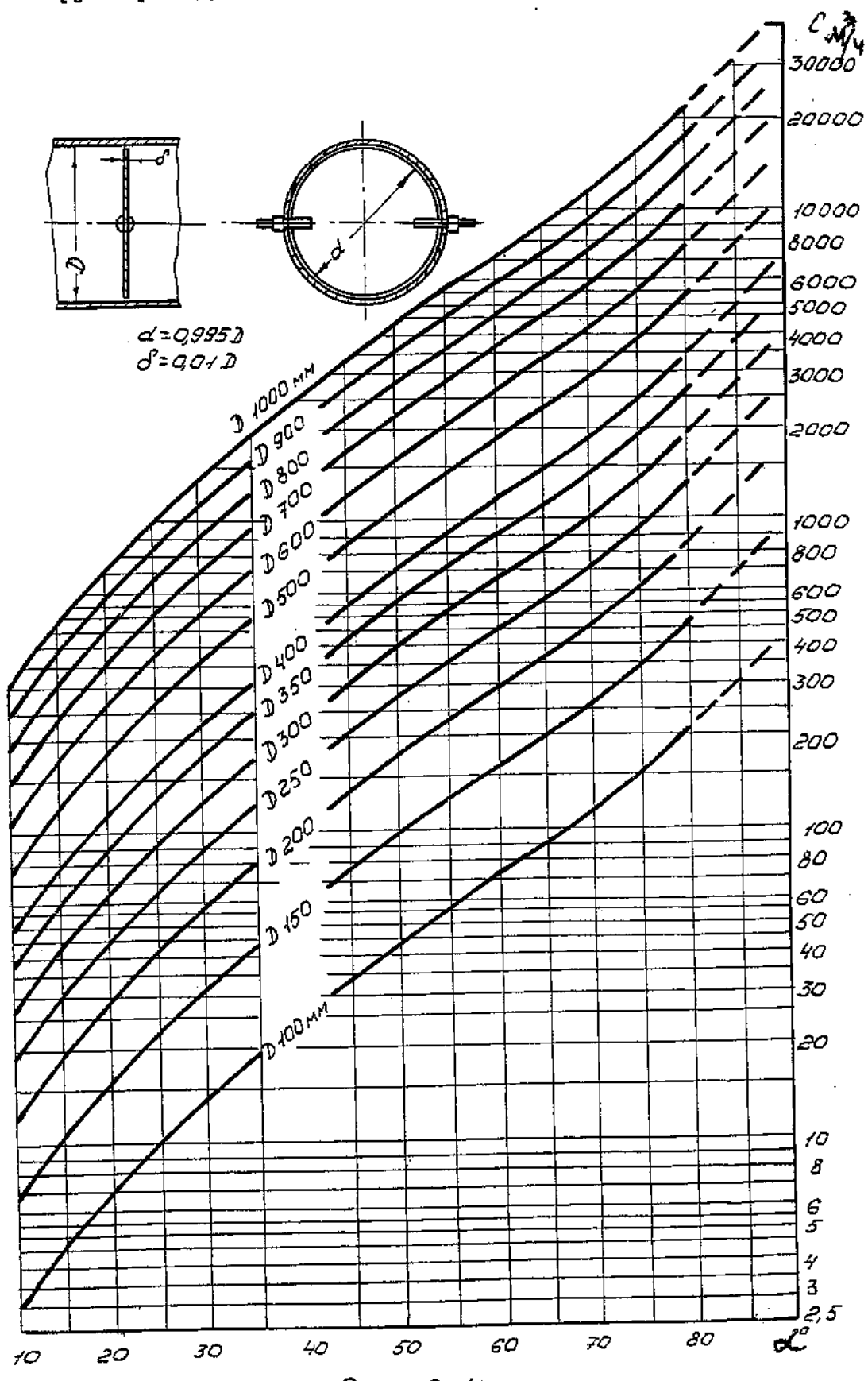

Рис. 8.4

Квадратная поворотная заслонка с плоским крылом без упоров

График зависимости коэффициента сопротивления ζ_p от угла поворота заслонки α

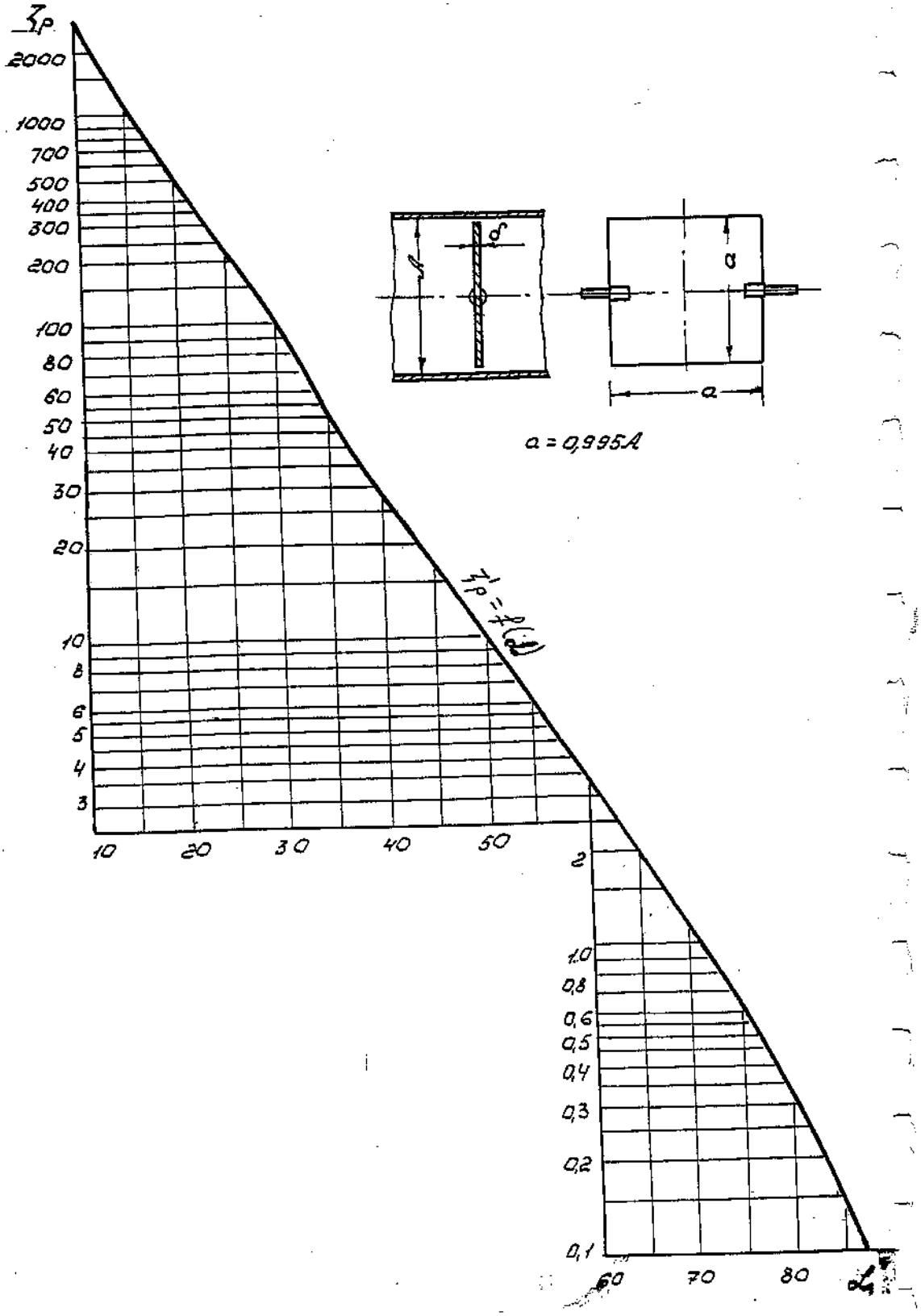

Рис. 8.5

Продолжение приложения 8

Квадратная поворотная заслонка с плоским крылом без углов

График зависимости удельной пропускной способности C от угла поворота для различных размеров трубопроводов

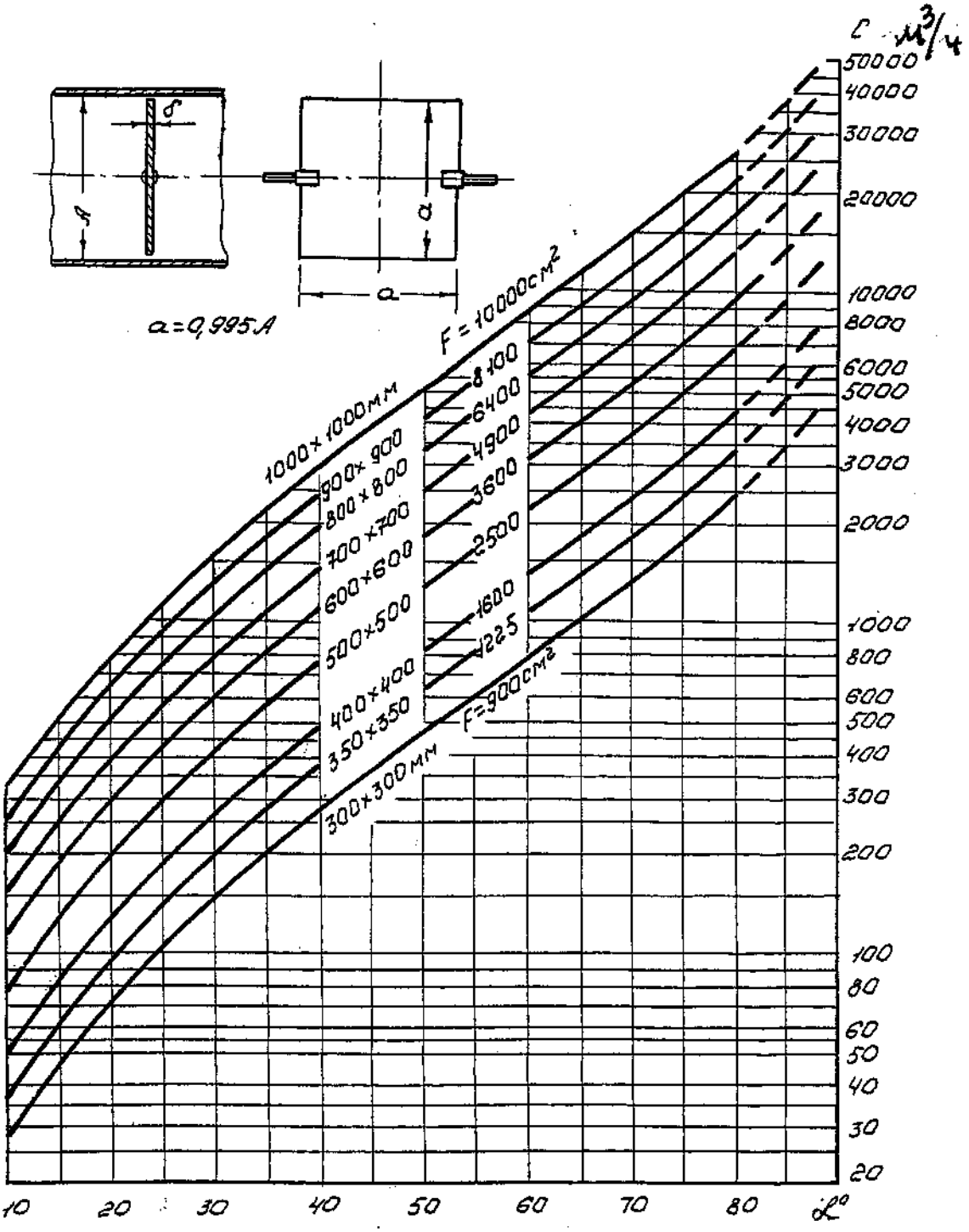

Рис. 8.6

Продолжение приложения 8

Квадратная поворотная заслонка с плоским крылом с упорами

График зависимости коэффициента сопротивления $\zeta_{тр}$ от угла поворота заслонки α

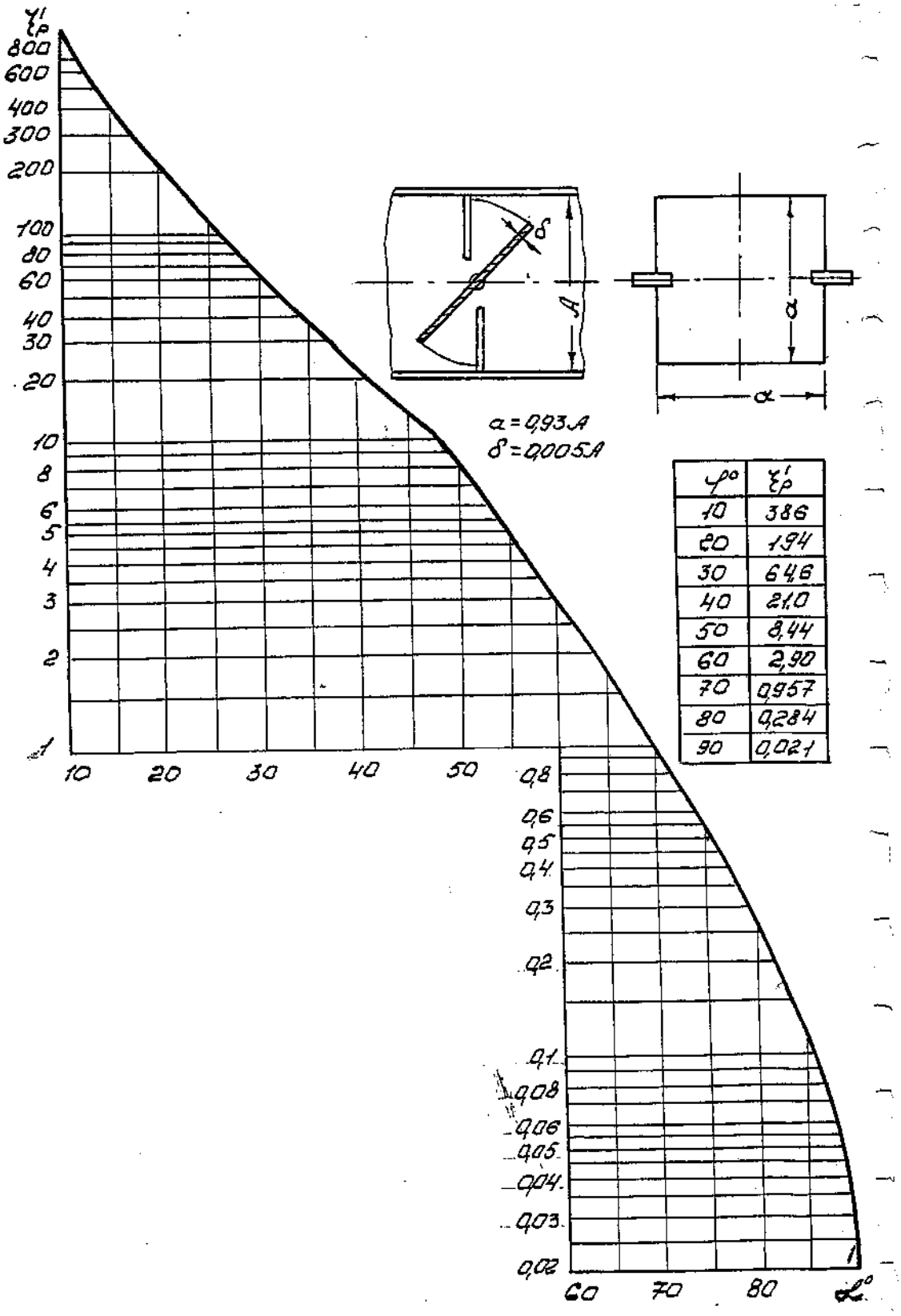

φ°	ζ'тр
10	386
20	194
30	646
40	21,0
50	8,44
60	2,90
70	0,957
80	0,284
90	0,021

Рис. 8.7

Продолжение приложения 8

Квадратная поворотная заслонка с плоским крылом с упорами

График зависимости удельной пропускной способности C от угла поворота для различных размеров трубопроводов

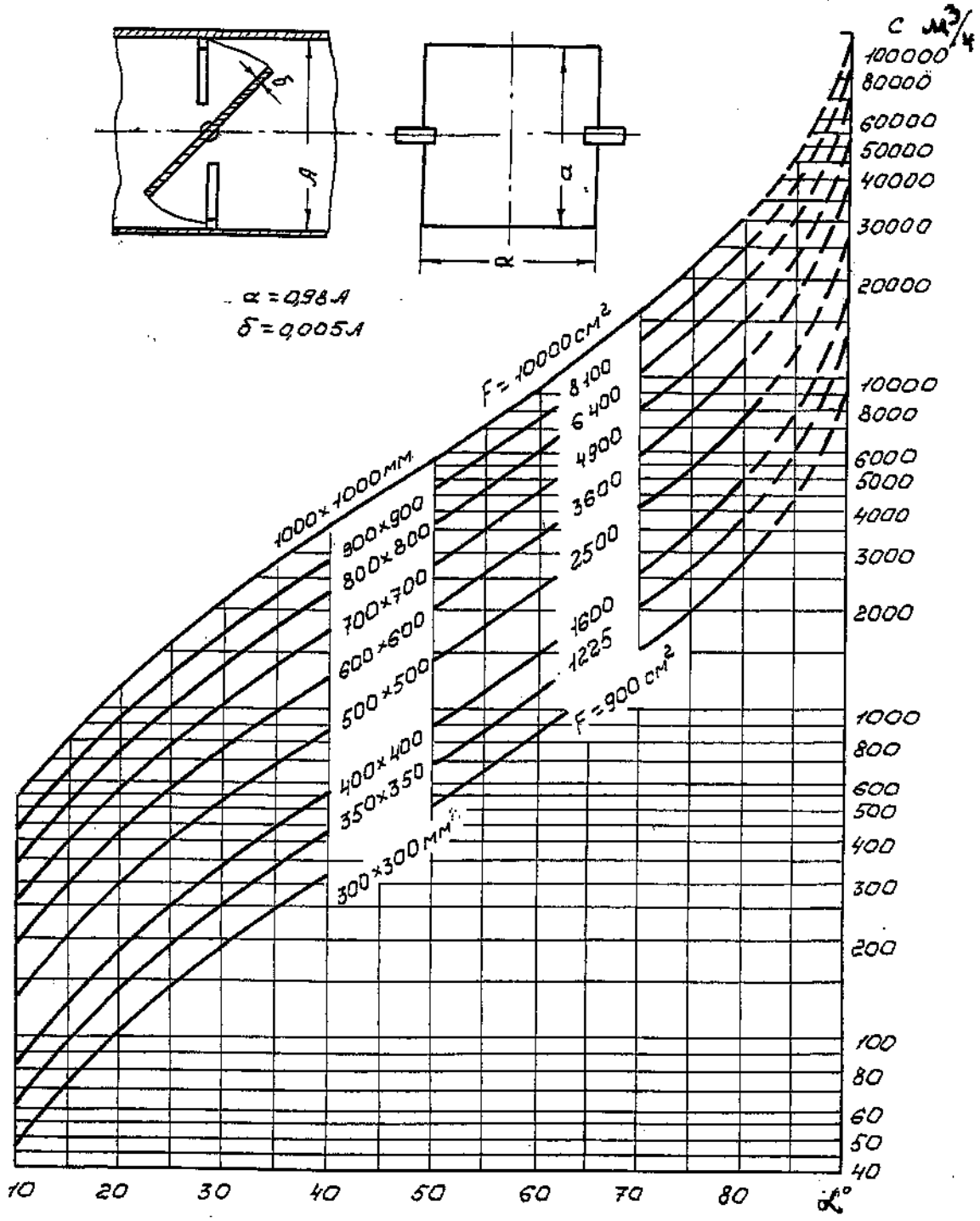

Рис. 8.8